


POLITÉCNICA

UNIVERSIDAD POLITÉCNICA DE MADRID
Escuela Universitaria de
Ingeniería Técnica Industrial

IDENTIFICACION Y MODELADO DE
SISTEMAS

DR. BASIL M. AL-HADITHI




ESCUELA UNIVERSITARIA DE
INGENIERÍA TÉCNICA INDUSTRIAL

UNIVERSIDAD POLITÉCNICA DE MADRID

Identificación y Modelado

- Modelo a través de la respuesta al escalón:
 - La dinámica del sistema (modelo) se puede obtener a través de la respuesta ante entrada escalón, rampa, impulso, etc.
 - El sistema ha de partir de una situación de reposo.
 - La entrada escalón es la señal habitual para la obtención del modelo del sistema.
- Modelo en frecuencia (puntos del diagrama de Nyquist)
- Métodos de diseño parten de la información obtenida del ensayo ante entrada escalón o de modelos frecuenciales.

2




ESCUELA UNIVERSITARIA DE INGENIERÍA TÉCNICA INDUSTRIAL

UNIVERSIDAD POLITÉCNICA DE MADRID

Modelado según respuesta escalón

- Modelos típicos en control de procesos:
 - Modelo de 2 parámetros
 - Modelo de 3 parámetros
 - Modelo de 4 parámetros
 - Modelos integradores
 - Modelos oscilatorios

3



ESCUELA UNIVERSITARIA DE INGENIERÍA TÉCNICA INDUSTRIAL

UNIVERSIDAD POLITÉCNICA DE MADRID

Modelo de 2 parámetros

- Modelo más simple
- Depende de 2 parámetros: ganancia estática K y cte tiempo T (es el mismo modelo de un sistema de 1^{er} orden)

$$G(s) = \frac{K}{1+Ts} \quad \text{siendo} \quad K = \frac{\Delta(\text{salida})}{\Delta(\text{entrada})}$$
$$T = t_s$$

T puede tomarse en el 95% o 63% del valor final de la salida.

4

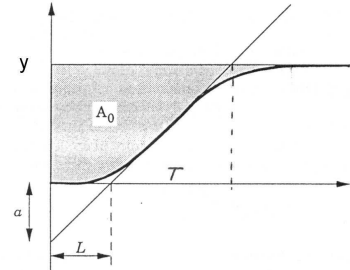
ESCUELA UNIVERSITARIA DE INGENIERIA TÉCNICA INDUSTRIAL UNIVERSIDAD POLITÉCNICA DE MADRID

Modelo de 2 parámetros

- Otro modelo aproximado: integrador + tiempo muerto

$$G(s) = \frac{a}{s \cdot L} e^{-sL} \quad \text{siendo } a = \frac{K \cdot L}{T}$$

Importante: K representa la variación de la salida con respecto a la variación en la entrada.



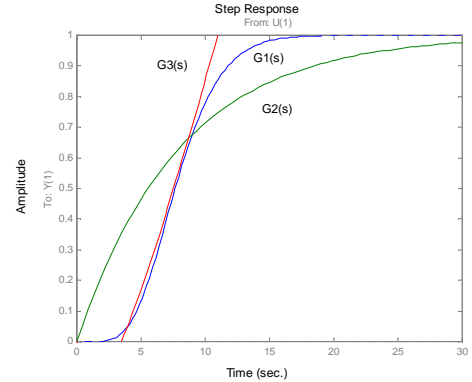
5

ESCUELA UNIVERSITARIA DE INGENIERIA TÉCNICA INDUSTRIAL UNIVERSIDAD POLITÉCNICA DE MADRID

Ejemplo

$$G_1(s) = \frac{1}{(s+1)^8} \quad (\text{sist. real})$$

$$G_2(s) = \frac{1}{(8s+1)}$$

$$G_3(s) = \frac{0.64}{4.3s} \cdot e^{-4.3s}$$


G2 ofrece buena descripción para tiempos largos. La ganancia es correcta y la respuesta es próxima a la respuesta correcta para tiempos largos

G3 aproxima la respuesta muy bien en el intervalo $5 \leq t \leq 9$, pero la aproximación esta muy mal para tiempos largos

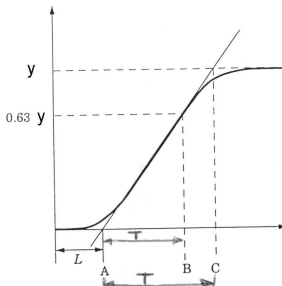
6

ESCUOLA UNIVERSITARIA DE INGENIERÍA TÉCNICA INDUSTRIAL UNIVERSIDAD POLITÉCNICA DE MADRID

Modelo de 3 parámetros

- Mejor aproximación con 3 modelos
- Parámetros: $G(s) = \frac{K}{1+Ts} \cdot e^{-sL}$
 - Ganancia estática K
 - Tiempo muerto
 - Cte tiempo T

$\left. \begin{array}{l} = AB \text{ (mejor)} \\ = AC \text{ (ofrece T grande)} \end{array} \right\}$



La recta es tangente a la curva en el punto de máx pendiente.

- Tiempo muerto normalizado:
 - Bajo $\tau \rightarrow$ fácil control
 - Alto $\tau \rightarrow$ difícil control
 - $\tau = 1 \rightarrow$ retardo puro

$$\tau = \frac{L}{L+T} \quad 0 < \tau < 1$$

7

ESCUOLA UNIVERSITARIA DE INGENIERÍA TÉCNICA INDUSTRIAL UNIVERSIDAD POLITÉCNICA DE MADRID

Modelo de 3 parámetros

- Otro modelo de mejor aproximación:

$$G(s) = \frac{K}{(1+Ts)^2} \cdot e^{-sL}$$

- K y L se determinan igual que en el caso anterior
- T resolviendo la ecuación en el tiempo conocido el valor de la salida en un instante determinado:

$$y(t) = K \left(1 - \left(1 + \frac{t-L}{T} \right) \cdot e^{-(t-L)/T} \right)$$

8

ESCUELA UNIVERSITARIA DE INGENIERÍA TÉCNICA INDUSTRIAL UNIVERSIDAD POLITÉCNICA DE MADRID

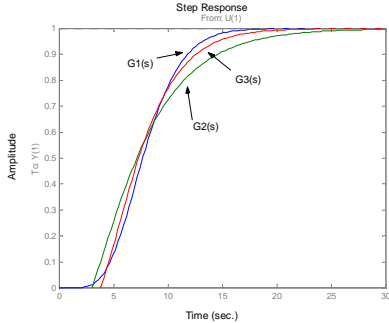
Modelo de 3 parámetros

- El primer modelo es muy empleado en ajuste de controladores PID, aunque no representa fielmente un proceso de control real.
- El segundo modelo aproxima mejor ya que la respuesta se acerca a la forma en S típica de los procesos más comunes.

$$G_1(s) = \frac{1}{(s+1)^8} \quad (\text{sist. real})$$

$$G_2(s) = \frac{1}{(4.3s+1)} \cdot e^{-4.3s}$$

$$G_3(s) = \frac{1}{(2s+1)^2} \cdot e^{-4.3s}$$



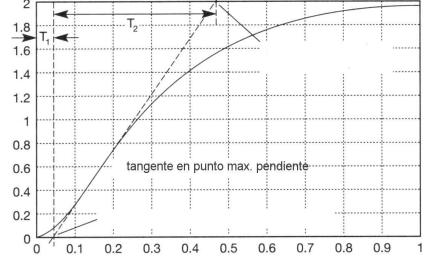
9

ESCUELA UNIVERSITARIA DE INGENIERÍA TÉCNICA INDUSTRIAL UNIVERSIDAD POLITÉCNICA DE MADRID

Modelo de 3 parámetros

- Sin necesidad de determinar parámetros de forma analítica. Todos se obtienen de la gráfica de la respuesta.
- K ganancia estática; T_1 y T_2 se obtienen a través de la tangente en el punto de máx. pendiente.
- Respuesta con forma en S .

$$G(s) = \frac{K}{(1+sT_1)(1+sT_2)}$$



10

ESCUELA UNIVERSITARIA DE INGENIERÍA TÉCNICA INDUSTRIAL UNIVERSIDAD POLITÉCNICA DE MADRID

Modelo de 4 parámetros

- Añadiendo un retraso en el modelo de 3 parámetros anterior:

$$G(s) = \frac{K}{(1+sT_1)(1+sT_2)} \cdot e^{-sL}$$

- Ventaja: es el modelo que mejor aproxima
- Inconveniente: los tiempos se calculan resolviendo numéricamente, midiendo el valor de la salida en 2 instantes de tiempo:
 - $y(t_1)=y_1$
 - $y(t_2)=y_2$

$$y(t) = K \left(1 + \frac{T_2 e^{-(t-L)/T_2} - T_1 e^{-(t-L)/T_1}}{T_1 - T_2} \right)$$

11

ESCUELA UNIVERSITARIA DE INGENIERÍA TÉCNICA INDUSTRIAL UNIVERSIDAD POLITÉCNICA DE MADRID

Modelos integradores

- Sistemas que no alcanzan un estado final de reposo.
- Modelo impreciso para procesos estables en altas frecuencias y mejor para bajas frecuencias

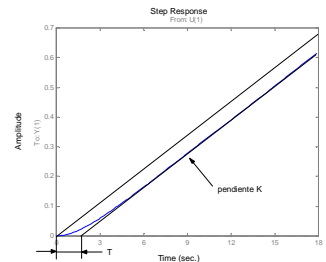
$$G(s) = \frac{a}{s \cdot L} e^{-sL}$$

- Modelo óptimo: Hay que resolver numéricamente para obtener L y T.


$$G(s) = \frac{K}{s(1+Ts)} e^{-sL}$$
- Modelo intermedio:

$$G(s) = \frac{K}{s(1+Ts)}$$

K es la pendiente de la recta (ojo, afectada de la amplitud del escalón de entrada).
T el punto de corte con abcisa.



12



ESCUELA UNIVERSITARIA DE
INGENIERÍA TÉCNICA INDUSTRIAL

UNIVERSIDAD POLITÉCNICA DE MADRID

Modelos oscilatorios

- Modelo de un sistema de 2º orden
 - K ganancia estática
 - ζ coeficiente de amortiguamiento
 - ω_n frecuencia natural no amortiguada

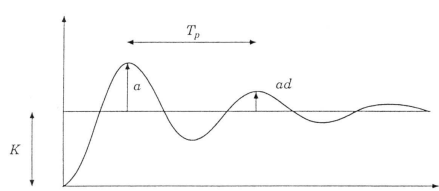
$$G(s) = \frac{K \omega_n^2}{s^2 + 2\zeta \omega_n s + \omega_n^2}$$

- Periodo de oscilación:


$$T_p = \frac{2\pi}{\omega_d} = \frac{2\pi}{\omega_n \sqrt{1-\zeta^2}}$$

- Razón decrecimiento:

$$d = e^{-\frac{2\zeta\pi}{\sqrt{1-\zeta^2}}}$$



13



ESCUELA UNIVERSITARIA DE
INGENIERÍA TÉCNICA INDUSTRIAL

UNIVERSIDAD POLITÉCNICA DE MADRID

Modelado en frecuencia

- Llevar al sistema a un estado de permanente oscilación y medir puntos interesantes (del diagrama de Nyquist).
- Métodos:
 - Ensayo Ziegler-Nichols.
 - Ensayo con relé.

14

ESCUELA UNIVERSITARIA DE INGENIERÍA TÉCNICA INDUSTRIAL UNIVERSIDAD POLITÉCNICA DE MADRID

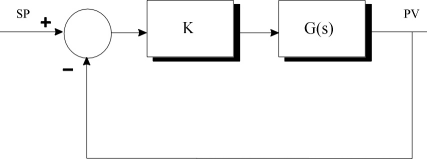
Ensayo Ziegler-Nichols

- Montar la estructura de la figura, aumentando K hasta obtener una oscilación sostenida.
- La salida del proceso (PV) y su entrada (U) son senoides desfasadas 180°.
- En esta situación:

ω_0 frecuencia de oscilación
 K_0 valor ajustado de K para oscilación

$$K.G(s)|_{s=j\omega_0} = K_0 G(j\omega_0) = -1$$

No siempre es seguro implementar este

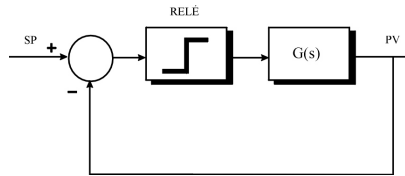
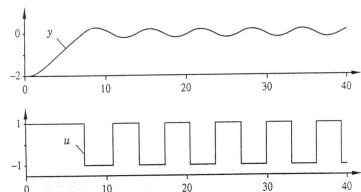
$$G(j\omega_0) = \frac{-1}{K_0}$$


15

ESCUELA UNIVERSITARIA DE INGENIERÍA TÉCNICA INDUSTRIAL UNIVERSIDAD POLITÉCNICA DE MADRID

Ensayo Relé

- Obtener la oscilación sostenida mediante la adición de un relé en la cadena directa.
- Se cumple que: $G(j\omega_0) = \frac{-\pi a}{4d}$ a, amplitud de la oscilación de la salida d, amplitud del relé

16

ESCUELA UNIVERSITARIA DE INGENIERÍA TÉCNICA INDUSTRIAL UNIVERSIDAD POLITÉCNICA DE MADRID

Perturbaciones del modelo

- Efectos que aplicados sobre el sistema modifican su funcionamiento. Si el sistema está en un punto estable y de reposo, las perturbaciones pueden sacarlo de ese punto.
- Sin perturbaciones *no es necesario control*.
- Pueden ser predecibles o impredecibles.
- Modelos simples: impulso, escalón, rampa, senoide
- Modelos complejos: combinaciones de los anteriores
- RUIDO: señales perturbadoras de difícil modelado
- Representación de las perturbaciones:

escalón $z(s)=1/s$	rampa $z(s)=1/s^2$
impulso $z(s)=1$	senoide $z(s)=\omega^2/(s^2+\omega^2)$

17

ESCUELA UNIVERSITARIA DE INGENIERÍA TÉCNICA INDUSTRIAL UNIVERSIDAD POLITÉCNICA DE MADRID

Perturbaciones del modelo

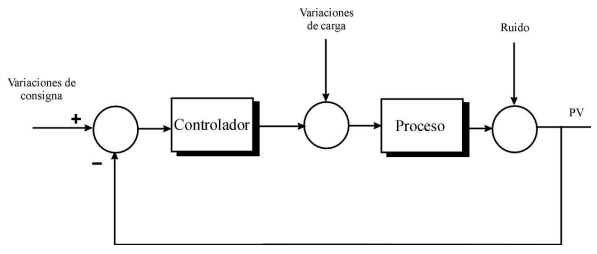
- Perturbaciones usuales en el sistema:
 - Cambios de referencia (SP), suelen ser predecibles pues corresponde a cambios realizados por el usuario para modificar el funcionamiento del sistema. Es medible, puede tratarse, filtrarse, acotarse, etc.
 - Perturbaciones de carga, son importantes ya que están ligadas al proceso, bien a su entrada o a su salida (ejemplo: variaciones de flujo de entrada, de la potencia de una máquina, etc). Suelen ser de baja frecuencia.

18

ESCUOLA UNIVERSITARIA DE INGENIERÍA TÉCNICA INDUSTRIAL UNIVERSIDAD POLITÉCNICA DE MADRID

Perturbaciones del modelo

- Ruido, afecta al punto de funcionamiento porque corrompe la señal de determinadas variables, las que proceden de los sensores. Suele ser de alta frecuencia; conviene filtrar antes de diseñar control.



The diagram illustrates a control loop with three summing junctions. The first junction adds 'Variaciones de consigna' (setpoint variations) with a positive sign. The signal then passes through a 'Controlador' (controller) block. The second junction adds 'Variaciones de carga' (load variations) with a positive sign. The signal then passes through a 'Proceso' (process) block. The third junction adds 'Ruido' (noise) with a positive sign. The output of the process is labeled 'PV' (Process Variable). A feedback line from the PV junction goes back to the first junction with a negative sign.

19